

Notas de medicina

# EL COLIBRÍ CHILLÓN DEL TRONCO ENCEFÁLICO

THE SHRILL HUMMINGBIRD OF THE BRAINSTEM

William Andrés Prada Mancilla<sup>1</sup>

1. *Radiólogo Intervencionista. Especialista y Magister en Epidemiología.  
Especialista en Docencia Universitaria.  
Fellow of Medical Research Council. Máster en imágenes de MSK.  
Jefe Nacional de Radiología, Clínica Colsanitas.*

DOI: <https://doi.org/10.26852/01234250.667>

El colibrí chillón (*Coruscans*) es un ave endémica de la sabana de Bogotá, Colombia (1). Tiene un pico largo y es de color azul y verde en su cabeza y pecho (2). La relación con las estructuras anatómicas de la fosa posterior en el cerebro humano es muy importante, ya que permite evaluar su relación entre las diferentes estructuras y el ambiente a su alrededor. En la figura 1 se evidencia un corte de una resonancia magnética (RM) y su relación con un dibujo del colibrí chillón, mientras que en la figura 2 se muestra su correlación con una tomografía computada (TC). La referencia numero 1 del esquema realizado por el Dr. William Prada es el mesencéfalo, el cual esta conectado con el pico que hace referencia a su extensión con el cuerpo mamilar y la hipófisis. En la figura 1a, se evidencia la conexión con el infundíbulo hipofisiario en la silla turca. El pecho del Colibrí (número 8 del esquema) hace referencia a la protuberancia. En enfermedades degenerativas como la parálisis supranuclear progresiva la relación entre el mesencéfalo y la protuberancia se alteran, siendo más pequeño la cabeza del colibrí por compromiso de la sustancia nigra (3).

Recibido: 14/08/2023

Aceptado: 30/09/2023

Correspondencia: [wpradamancilla@gmail.com](mailto:wpradamancilla@gmail.com)

En la conexión entre la cabeza y el pecho del colibrí (numero 4 del esquema) surge el origen aparente del 3er par craneal, el cual no se visualiza en el esquema, pero es importante para la referenciación anatómica. En la región dorsal del mesencéfalo o la nuca del colibrí (número 3) se encuentra el Tectum o la placa cuadrigeminal, que coordina el sistema sensorial auditivo y visual con dos colículos superiores e inferiores y se conecta distalmente con la comisura posterior, la cual posee fibras comisurales que conectan ambos hemisferios cerebrales (4). Esta estructura solo esta representada en la resonancia y no en el esquema del colibrí, ya que esta ave no presenta gorro en su anatomía normal.

El aspecto posterior del colibrí o de la fosa posterior esta representada por los hemisferios cerebelosos (número 5), con sus respectivas fisuras representadas por las plumas (5). A nivel central se encuentra el cuarto ventrículo, se ha realizado esta modificación en el esquema del colibrí que no altera su anatomía.

En el número 6 se encuentra el techo del cuarto ventrículo y se conecta con el tercer ventrículo a través del acueducto cerebral de Silvio, el cual discurre entre el tectum y el mesencéfalo (4). En el número 7 se encuentra el piso del cuarto ventrículo y los agujeros de Luschka y Magendie, donde drena el líquido cefalorraquídeo (LCR).

Finalmente, entre la unión de la protuberancia y la medula oblonga (representada con el número 10), se encuentra el origen aparente del VI, VII y VIII para craneal, representado por las patas del colibrí (número 9). Alrededor de todo el colibrí se encuentra el LCR, que se representa hipointenso en la RM, y esta involucrada en la compensación intracranial según la doctrina de Monro Kellie (6). En la figura 2 se encuentran las mismas estructuras representadas, pero en TC, las cuales son de menor resolución y detalle debido a que las estructuras óseas como el Clivus generan artificios de endurecimiento del haz de rayos x.

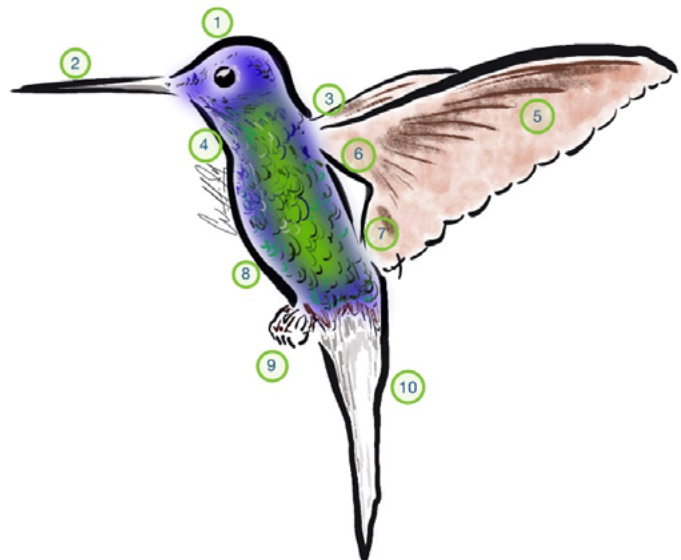


FIGURA 1. Relación del Colibrí chillón con resonancia magnética

1a. Corte sagital de la fosa posterior del cerebro en una secuencia T1 de un resonador de 3T, tomado del archivo docente propio en formato DICOM. 1b. Esquema de Colibrí Chillón realizado por el autor del artículo, William Prada.

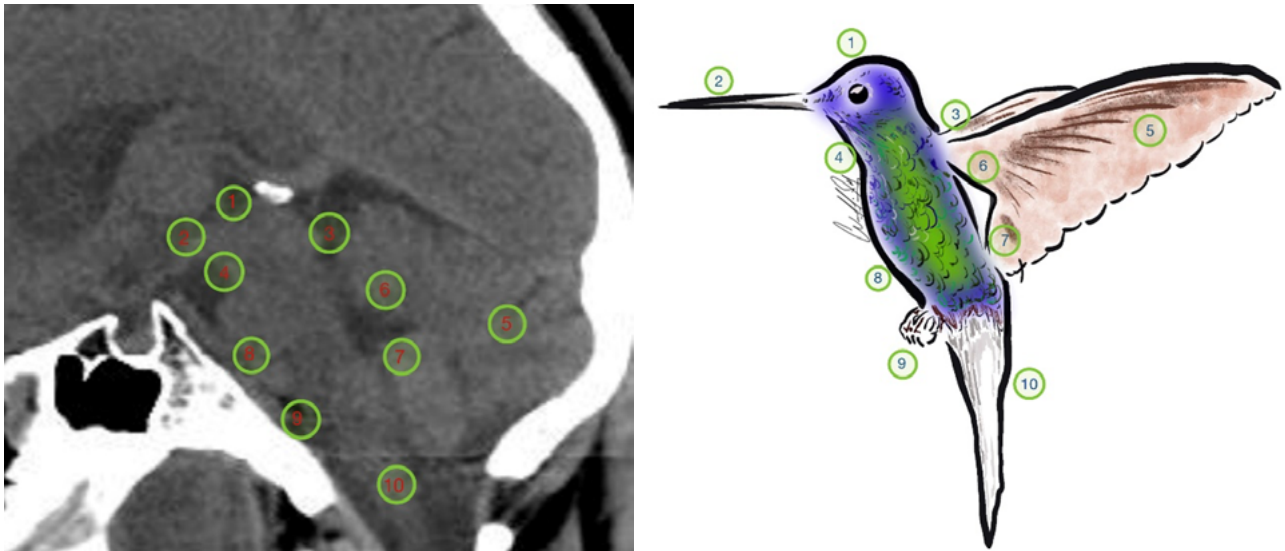


FIGURA 2. Relación del Colibrí chillón con tomografía computada

2a. Corte sagital de la fosa posterior del cerebro en una tomografía simple, tomado del archivo docente propio en formato DICOM. 2b. Esquema de Colibrí Chillón realizado por el autor del artículo, William Prada.

## REFERENCIAS

1. Ricardo Cárdenas Y. Capturando colibríes a través de un lente. Bio-grafía [Internet]. 1 de julio de 2016 [citado 3 de julio de 2023];9(17):163.166. <https://doi.org/10.17227/20271034.vol.9num.17bio-grafia163.166>
2. Hernández, N, Ricaurte Bernal, K, Rodríguez Matiz, J Diagnóstico de la calidad bacteriológica del agua del P.e.d.h el Burro, Bogotá, Colombia. [Internet]. Bogotá D.C: Universidad Colegio Mayor de Cundinamarca; 2019 [citado: 2023, julio] 97p.
3. Aludin S, Schmill LA. MRI Signs of Parkinson's Disease and Atypical Parkinsonism. Rofo. 2021 Dec;193(12):1403-1410. English, German. doi: 10.1055/a-1460-8795. Epub 2021 May 25. <https://doi.org/10.1055/a-1460-8795>
4. Sciacca S, Lynch J, Davagnanam I, Barker R. Midbrain, Pons, and Medulla: Anatomy and Syndromes. Radiographics. 2019 Jul-Aug;39(4):1110-1125. <https://doi.org/10.1148/rg.2019180126>
5. Adamsbaum C, Moutard ML, André C, Merzoug V, Ferey S, Quéré MP, Lewin F, Fallet-Bianco C. MRI of the fetal posterior fossa. Pediatr Radiol. 2005 Feb;35(2):124-40. <https://doi.org/10.1007/s00247-004-1316-3>
6. Nag DS, Sahu S, Swain A, Kant S. Intracranial pressure monitoring: Gold standard and recent innovations. World J Clin Cases. 2019 Jul 6;7(13):1535-1553. <https://doi.org/10.12998/wjcc.v7.i13.1535>